

図4.2 SB-1坑、S-4坑、及びSC-1坑のCl濃度、SO₄濃度、D、及び石英温度計温度 (T-SiO₂) の経年変化

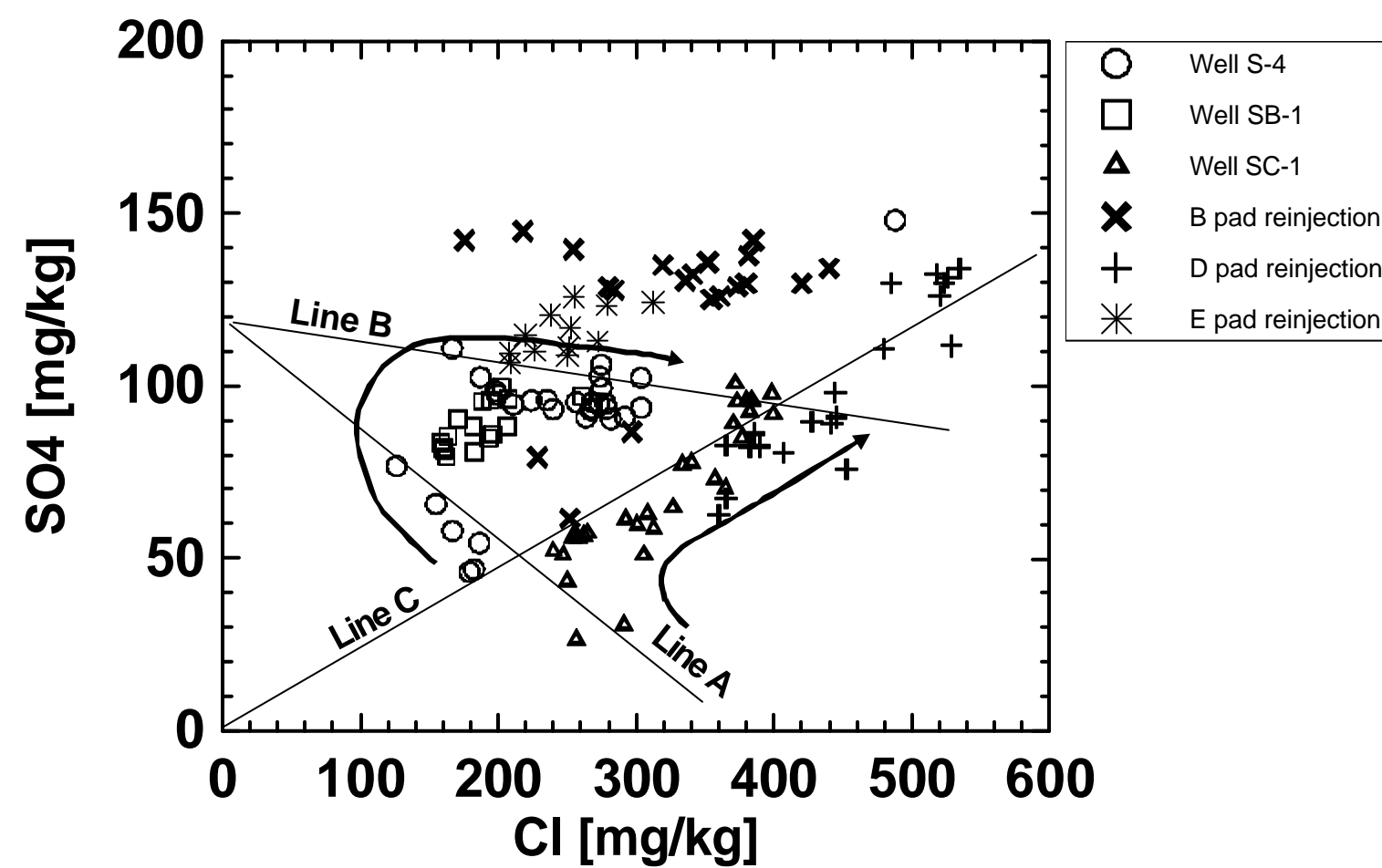


図4.3 生産流体及び還元流体のCl濃度及びSO₄濃度の関係 . 矢印は、時間経過の方向示す .

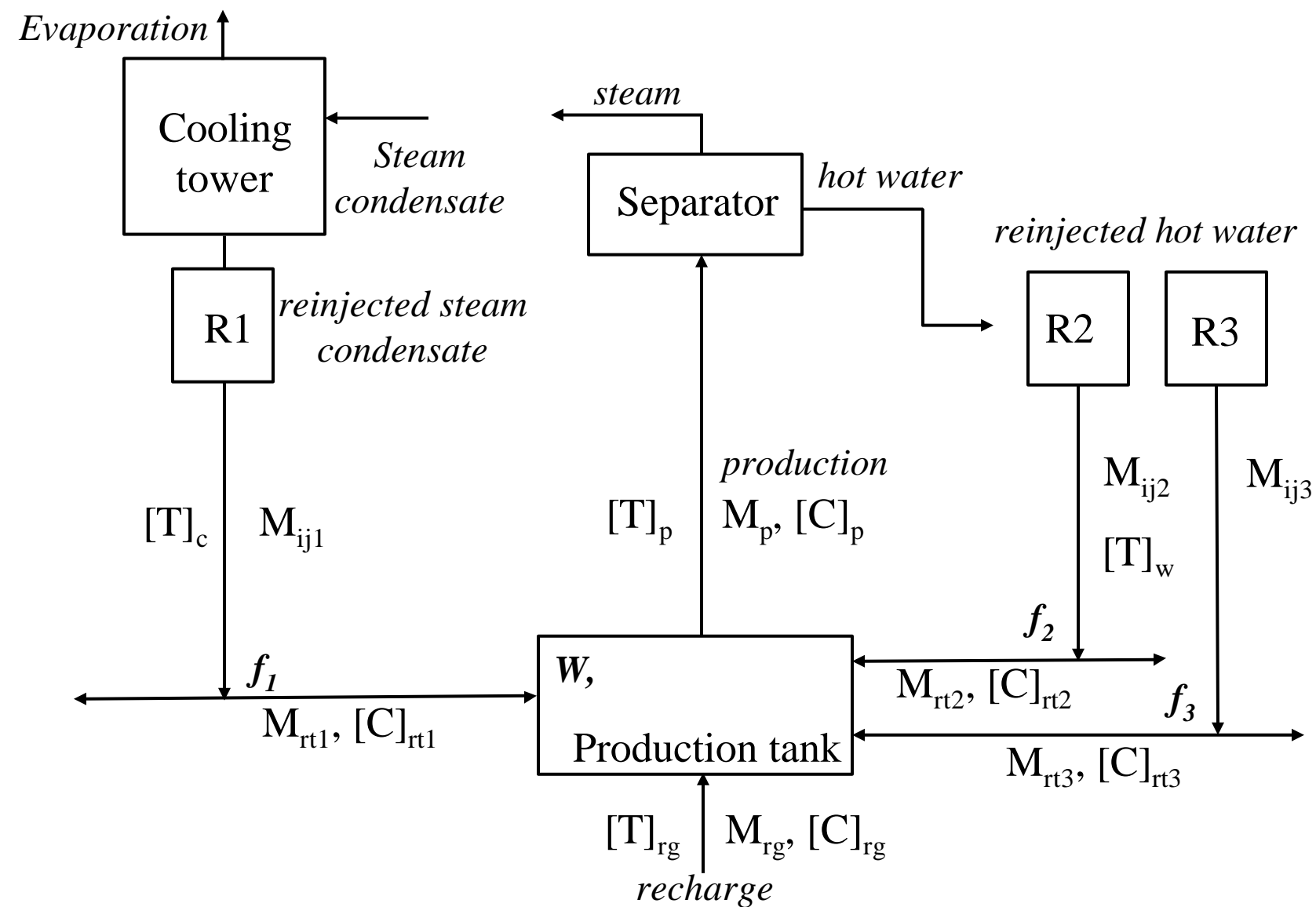


図4.6 蒸気復水と2種類の分離熱水の還元を考慮した生産 - 還元を表すランプトパラメータモデル

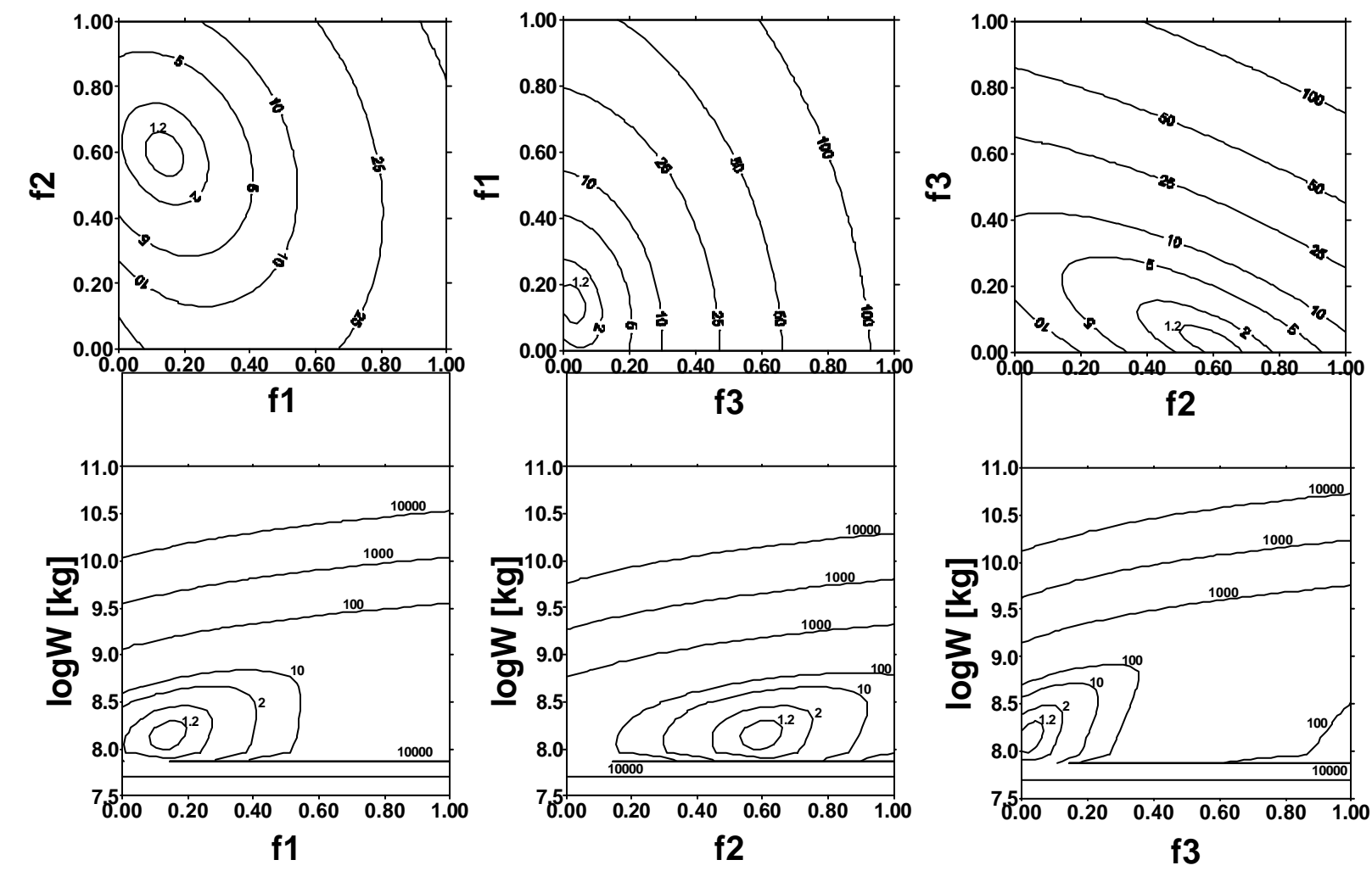


図4.11 2組の未知変数における規格化残差二乗和(NS)の分布 (S-4坑[A])

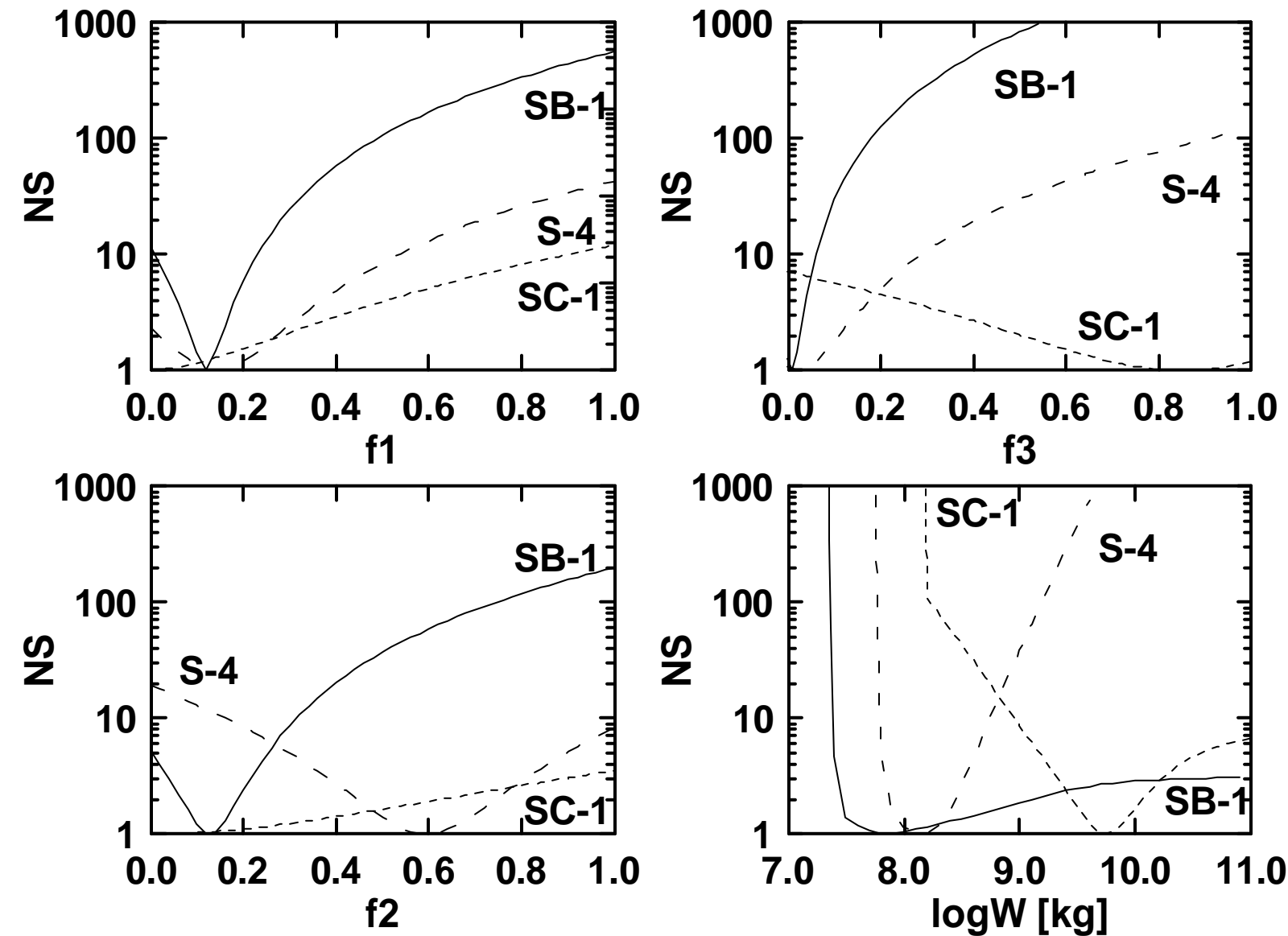


図4.12 規格化残差二乗和と未知変数 (f_1 、 f_2 、 f_3 、 W) の関係

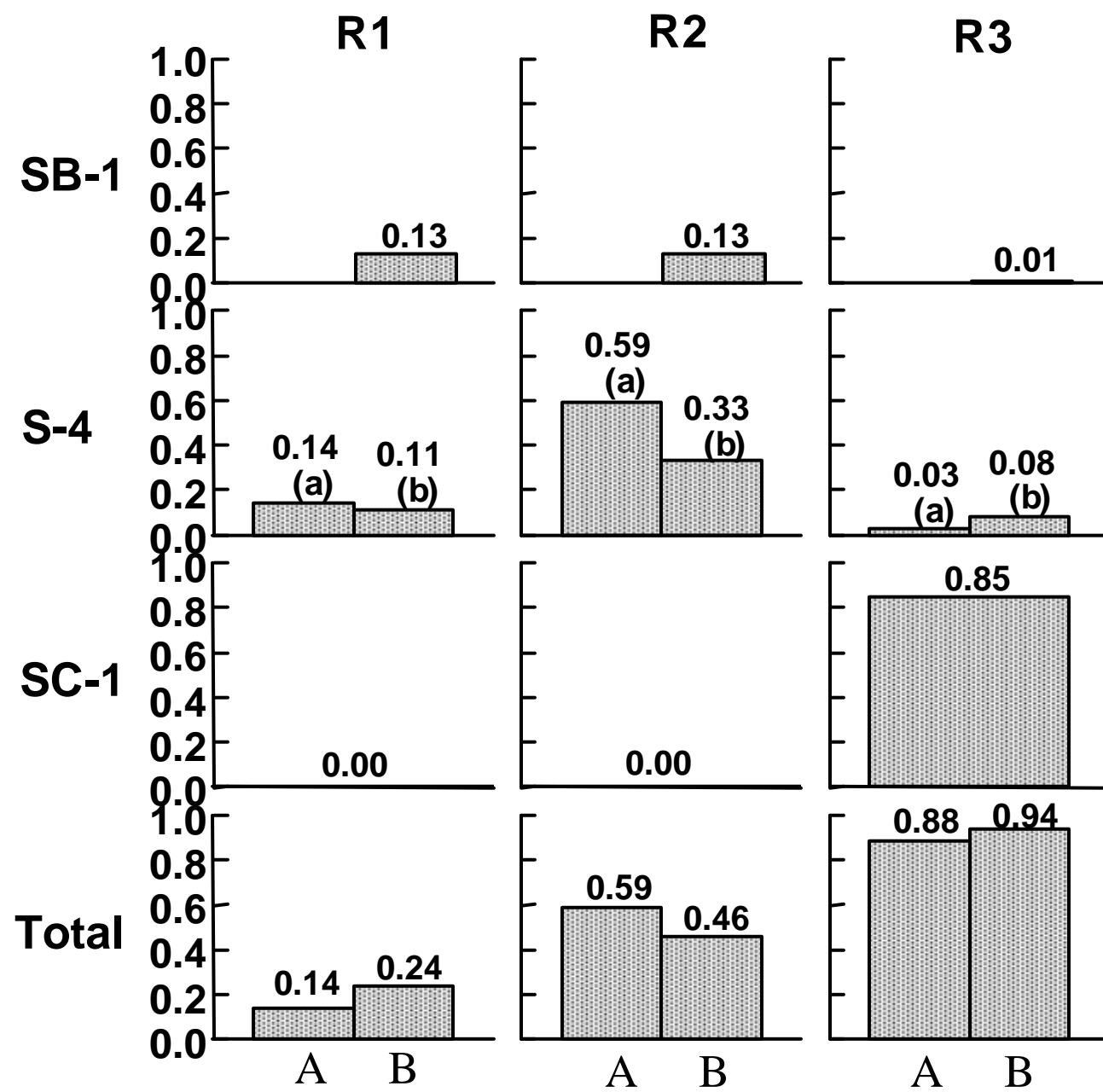


図4.13 各坑井に対する還流率のまとめ . A及び(a)はS-4坑の解析期間の前半を、
B及び(b)はS-4坑の解析期間の後半を示す .

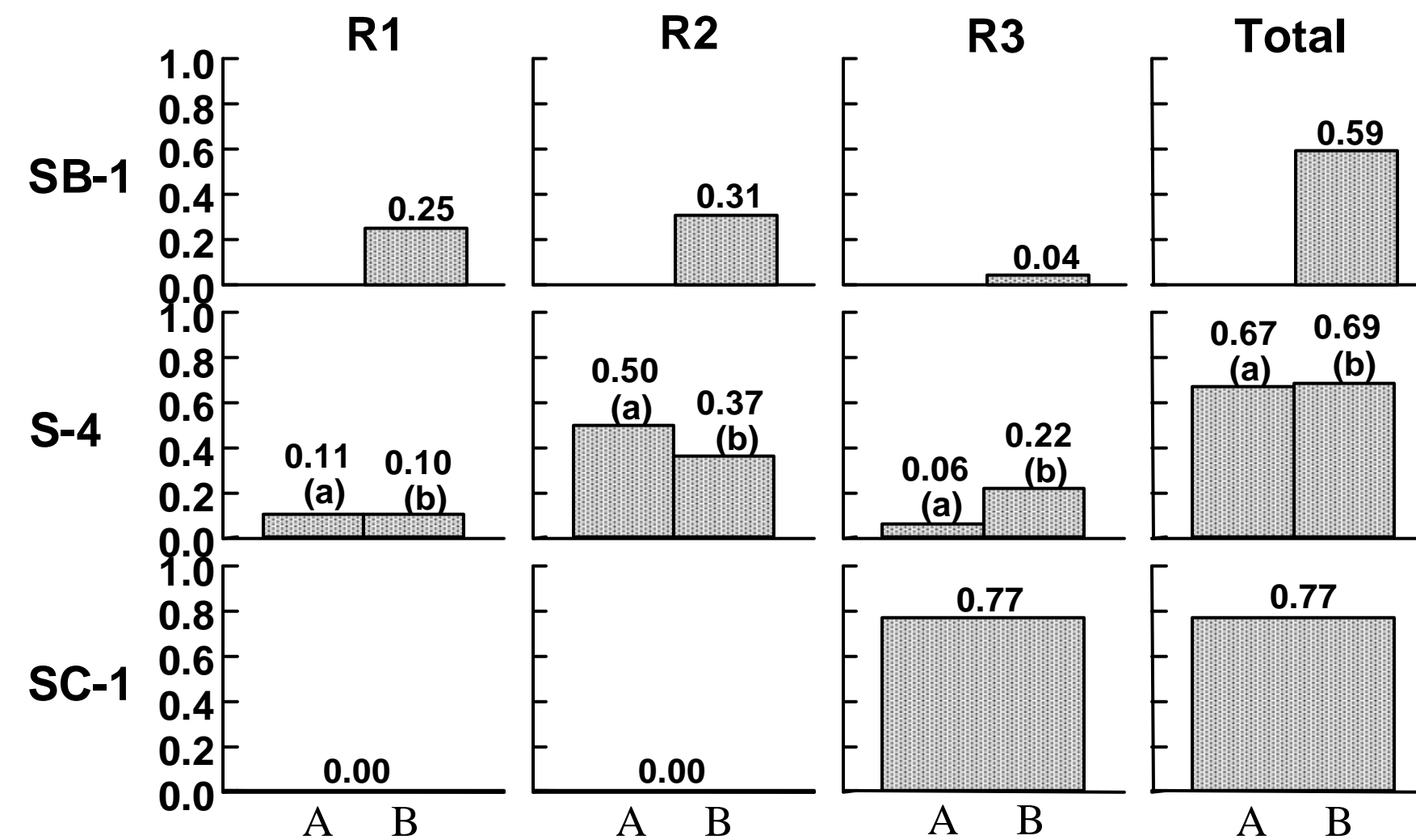


図4.14 各坑井に対する混入率のまとめ . A及び(a)はS-4坑の解析期間の前半を、
B及び(b)はS-4坑の解析期間の後半を示す .

表4.1 解析で使用する入力変数の一覧

Parameters	Symbol	unit	SB-1	S-4a	S-4b	SC-1
Ter m			Jul/'96-May/'99	Jul/'95-Nov	Dec/'96-May/'99	Dec/'95-Sep/'98
Initial reservoir temperature	[T] _{0,0}	[]	243	266	250	269
Initial reservoir Cl concentration	[C] _{0,0}	[mg/kg]	197	146	252	233
Initial reservoir SO ₄ concent	[C] _{0,0}	[mg/kg]	80	112	93	51
Initial reservoir D	[C] _{0,0}	[‰]	-56.6	-60.1	-67.9	-75.2
Temperature of recharge fluid	[T] _{rg}	[]	244	260	268	
Cl concentration of recharge fluid	[C] _{rg}	[mg/kg]	184	164	266	
SO ₄ concentration of recharge fluid	[C] _{rg}	[mg/kg]	88	70	47	
D of recharge fluid	[C] _{rg}	[‰]	-68.2	-80.1	-74.9	
Reinjection temperature of steam condensate	[T] _c	[]		40		
Reinjection temperature of separated water	[T] _w	[]		150		
Specific heat of reservoir rock	c _r	[kJkg ⁻¹ K ⁻¹]		0.86		
Density of reservoir rock	_r	[kg/m ³]		2,700		
Time increment	t	[s]		2,628,000		

表4.2 推定された未知変数の一覧

Parameters	Symbol	unit	SB-1	S-4a	S-4b	SC-1
Fluid mass of reservoir	W	[kg]	7.3×10^7	1.5×10^8	4.4×10^8	5.6×10^9
Porosity		[-]	0.006	0.009	0.019	0.015
Ret	f ₁	[-]	0.13	0.14	0.11	0.00
Ret	f ₂	[-]	0.13	0.59	0.33	0.00
Ret	f ₃	[-]	0.01	0.03	0.08	0.85
Radius of reservoir	R	[m]	130	150	170	420